



OFICINA ESPAÑOLA DE PATENTES Y MARCAS

ESPAÑA

1 Número de publicación: $2\ 358\ 777$

(51) Int. Cl.:

C07F 19/00 (2006.01)

C07F 15/04 (2006.01)

C07F 13/00 (2006.01)

COSF 10/00 (2006.01)

(12)

TRADUCCIÓN DE PATENTE EUROPEA

Т3

- 96 Número de solicitud europea: 08775115 .2
- 96 Fecha de presentación : 16.07.2008
- 97 Número de publicación de la solicitud: 2167517 97 Fecha de publicación de la solicitud: 31.03.2010
- (54) Título: Sistemas catalíticos basados en carbonilamino fulvenos.
- (30) Prioridad: **24.07.2007 EP 07290931**

(73) Titular/es:

TOTAL PETROCHEMICALS RESEARCH FELUY Zone Industrielle C 7181 Seneffe, Feluy, BE Centre National de la Recherche Scientifique (CNRS)

- (45) Fecha de publicación de la mención BOPI: 13.05.2011
- (72) Inventor/es: Lansalot-Matras, Clément; Lavastre, Olivier y Sirol, Sabine
- (45) Fecha de la publicación del folleto de la patente: 13.05.2011
- Agente: Carpintero López, Mario

Aviso: En el plazo de nueve meses a contar desde la fecha de publicación en el Boletín europeo de patentes, de la mención de concesión de la patente europea, cualquier persona podrá oponerse ante la Oficina Europea de Patentes a la patente concedida. La oposición deberá formularse por escrito y estar motivada; sólo se considerará como formulada una vez que se haya realizado el pago de la tasa de oposición (art. 99.1 del Convenio sobre concesión de Patentes Europeas).

DESCRIPCIÓN

Sistemas catalíticos basados en carbonilamino fulvenos

5

10

30

35

40

La presente invención describe componentes catalíticos basados en ligandos de carbonilamino fulveno, su procedimiento de preparación y su uso en la polimerización de etileno y alfa-olefinas.

Los complejos metálicos usados como catalizador o componente catalítico para la polimerización de olefinas se conocen en la técnica, por ejemplo, a partir del documento US 5880323.

Se han descrito diversos ligandos en la bibliografía, algunos de los cuales se ensayaron en complejación con metales, pero ninguno de ellos se había usado como catalizador para la polimerización de etileno o alfa-olefinas. Algunos ligandos se describen, por ejemplo, en Lloyd y Preston (D. Lloyd, N.W. Preston, J. Chem. Soc. C, 1969, 2464-2469,) o por Linn y Sharkey (W.J. Linn, W.G. Sharkey J. Am. Chem. Soc. 1957, 79, 4970-2,) o en Snyder et al. (C.A. Snyder, J.P. Selegue, N.C. Tice, C.E. Wallace. M.T. Blankenbuehler, S. Parkin, K.D.E. Allen, R.T. Beck, J. Am. Chem. Soc. 2005, 127, 15010-11,) en Dong et al. (Y.B. Dong, Y. Geng, J.P. Ma y R.Q. Huang, Inorg. Chem. 2005, 44,1693-1703,) o en Dong et al. (Y.B. Dong, Dalton Transactions, (22), 4324-4330, 2003).

Hay una necesidad de desarrollar un nuevo sistema catalítico que tenga buena actividad y que sea capaz de producir polímeros adaptados a necesidades específicas.

Un objetivo de la presente invención es preparar nuevos componentes catalíticos que puedan usarse en la polimerización de etileno y alfa-olefinas.

También es un objetivo de la presente invención proporcionar componentes catalíticos muy activos.

20 Otro objetivo de la presente invención es proporcionar un procedimiento para polimerizar o copolimerizar etileno y alfa-olefinas.

La presente invención alcanza, al menos parcialmente, uno cualquiera de estos objetivos.

Por consiguiente, la presente invención describe un procedimiento para preparar un complejo metálico que comprende las etapas de:

a) reparar un ligando de carbonilamino fulveno mediante una reacción de condensación de un ligando de hidroxicarbonil fulveno con una amina primaria, en un disolvente polar y con un catalizador ácido

$$R_1$$
 H_2N-R_2 $EtOH$ O H_1 R_2 H_2N-R_3 O H_1 R_2 H_2 H_3 H_4 H_5 H_5

en las que R_1 y R_2 son iguales o diferentes y se seleccionan entre alquilo, arilo, alquilarilo, arilalquilo que tiene como máximo 20 átomos de carbono o grupos que contienen heteroátomos;

b) proporcionar un precursor metálico MZ_n en la que M es un metal del Grupo 6 a 11 de la Tabla Periódica, Z es un contra-anión negativo y n es la valencia de M;

c) complejar el precursor metálico de la etapa b) con el carbonilamino fulveno de la etapa a);

d) recuperar un complejo metálico.

Preferentemente, ambos R_1 son iguales, y se seleccionan entre alquilo, fenilo no sustituido o sustituido (Ph), CHPh₂ en la que Ph puede estar sustituido o no, o los grupos R_1 incluyen unidades que contienen heteroátomo(s). Más preferentemente R es CHPh₂ o ciclohexilo o parametoxifenilo. Más preferentemente R_1 es CHPh₂.

Preferentemente, R₂ es CH₂piridina o incluye unidades que contienen heteroátomos. Más preferentemente R₂ es CH₂piridina o furano.

Las realizaciones preferidas de acuerdo con la presente invención se caracterizan por los siguiente pares:

Ambos R₁ son CHPh₂ y R₂ es CH₂piridina,

Ambos R₁ son parametoxifenilo y R₂ es CH₂piridina,

Ambos R₁ son ciclohexilo y R₂ es furano.

10

15

30

35

40

Más preferentemente, ambos R₁ son CHPh₂ y R₂ es CH₂piridina.

Preferentemente, M es CrII, CrIII o Ni, más preferentemente, es CrII.

5 Preferentemente, Z es halógeno o acetato, más preferentemente, es CI.

El disolvente polar preferido es etanol y el catalizador ácido preferido es ácido paratolueno sulfónico.

Pueden formarse diversos tipos de complejos metálicos, uno donde el metal está coordinado con un ligando y uno donde el metal está coordinado con dos ligandos. Las cantidades relativas de cada ligando y unidad metálica dependen de la naturaleza del ligando y del metal. La cantidad de ligando, por lo tanto, debe ser de al menos un equivalente de ligando por equivalente metálico. En una realización preferida de acuerdo con la presente invención, el metal es CrII y está coordinado con un ligando o con dos ligandos.

La presente invención desvela adicionalmente un sistema catalítico activo, que comprende el complejo metálico y un agente de activación que tiene una acción ionizante.

Los agentes de activación adecuados se conocen bien en la técnica. El agente de activación puede ser un aluminio alquilo representado por la fórmula AIR⁺_nX_{3-n}, en la que R⁺ es un alquilo que tiene de 1 a 20 átomos de carbono y X es un halógeno. Los agentes de alquilación preferidos son triisobutil aluminio (TIBAL) o trietil aluminio (TEAL).

Como alternativa y preferentemente, es un aluminoxano y comprende aluminoxanos de alquilo oligoméricos, lineales y/o cíclicos, representados por la fórmula

20 R -- (AI-O)_n-AIR*₂

para aluminoxanos oligoméricos, lineales, y por la fórmula

25 (-AI-O-)_m

para aluminoxano oligomérico, cíclico,

en la que n es 1-40, preferentemente 10-20, m es 3-40, preferentemente 3-20 y R* es un grupo alquilo C₁-C₈ y, preferentemente, metilo.

La cantidad de activación se selecciona para dar una proporción Al/M de 100 a 3000, preferentemente de aproximadamente 1000.

Los agentes de activación que contienen boro adecuados pueden comprender un trifenilcarbenio boronato, tal como tetraquis-pentafluorofenil-borato-trifenilcarbenio, como se describe en el documento EP-A-0427696, o aquellos de fórmula general [L'-H] + [B Ar₁ Ar₂ X₃ X₄]- como se describe en el documento EP-A-0277004 (página 6, línea 30 a página 7, línea 7). La cantidad de agente de activación que contiene boro se selecciona dando una proporción B/M de 0,5 a 5, preferentemente de aproximadamente 1.

El agente de activación preferido es metilaluminoxano (MAO).

En otra realización, de acuerdo con la presente invención, el complejo metálico puede depositarse sobre un soporte convencional impregnado con un agente de activación.

Preferentemente, el soporte convencional es sílice impregnada con metilaluminoxano (MAO). Como alternativa, puede ser un soporte de activación, tal como alúmina sílice fluorada.

La presente invención desvela adicionalmente un procedimiento para preparar un sistema catalítico activo que comprende las etapas de:

- a) proporcionar un ligando de carbonilamino fulveno;
- b) complejar el ligando de la etapa a) con una sal metálica MZ_n en un disolvente con un catalizador ácido;
- 5 c) recuperar un componente catalítico;
 - d) opcionalmente, depositar el componente catalítico de la etapa c) sobre un soporte;
 - e) activar el componente catalítico de la etapa c) o etapa d) con un agente de activación que tiene una acción ionizante;
 - f) opcionalmente, añadir un aceptor;
- 10 g) recuperar un sistema catalítico de oligomerización o polimerización activo.

Como alternativa, en la etapa d), el componente catalítico se deposita sobre un soporte impregnado con un agente de activación o sobre un soporte de activación. En ese caso, la etapa de activación e) no es necesaria.

El aceptor puede seleccionarse entre trietilaluminio, triisobutilaluminio, tris-n-octilaluminio, tetraisobutildialuminoxano o dietil cinc.

15 El sistema catalítico activo se usa en la oligomerización y en la polimerización de etileno y alfa-olefinas.

La presente invención desvela un procedimiento para la oligomerización o la homo- o copolimerización de etileno y alfa-olefinas que comprende las etapas de:

- a) inyectar el sistema catalítico activo en el reactor;
- b) inyectar el monómero y comonómero opcional;
- 20 c) mantener en condiciones de polimerización;
 - d) recuperar los oligómeros y/o el polímero.

La presión en el reactor puede variar de 0,5 a 60 bar, preferentemente de 15 a 45 bar. La productividad del sistema catalítico aumenta con el aumento de la presión.

La temperatura de polimerización puede variar de 10 a 100°C, preferentemente de 25 a 55°C. La productividad del sistema catalítico disminuye con el aumento de la temperatura.

Preferentemente, el monómero y comonómero opcional se seleccionan entre etileno, propileno o 1-hexeno.

La presente invención describe también los polímeros obtenidos con los nuevos sistemas catalíticos.

Lista de figuras.

25

40

La Figura 1 representa ejemplos de ligandos preparados de acuerdo con la presente invención.

30 La Figura 2 representa la estructura molecular del ligando D obtenido por rayos X.

La Figura 3 representa la estructura molecular del compuesto metálico resultante de la complejación de $CrCl_2$ con el ligando L.

Ejemplos

Síntesis de ligandos.

Los ligandos se prepararon siguiendo procedimientos similares a aquellos descritos, por ejemplo, en Lloyd y Preston (D. Lloyd, N.W. Preston, J. Chem. Soc. C, 2464-2469, 1969).

Todos los reactivos se adquirieron en fuentes disponibles en el mercado, y se usaron sin purificación y los disolventes se purificaron siguiendo procedimientos convencionales. Los espectros de RMN se registraron en un espectrómetro Brücker ARX 200, a 200 MHz para los espectros de ¹H y a 50 MHz para los espectros de ¹³C, o en un Brucker AC 300P a 300 MHz para los espectros de ¹H y a 75 MHz para los espectros de ¹³C. Los espectros de masas se obtuvieron con un espectrómetro de masas de alta resolución Varian MAT 311 y se realizaron

microanálisis en un Flash EA1112 CHNS/O Thermo Electron (Centre Régional de Mesures des Physiques de l'Ouest, Rennes, Francia). La recogida de datos cristalográficos, la constante de la celdilla unitaria y la determinación del grupo espacial se realizaron en un difractómetro 'Enraf Nonius FR590' NONIUS Kappa CCD automático, con radiación Mo-K α monocromatizada con grafito a 120 K. Los parámetros de la celdilla se obtienen con Denzo y Scalepack con 10 cuadros (rotación psi: 1º por cuadro). La estructura se resolvió con SIR-97. La estructura en su conjunto se refinó con SHELXL97 mediante técnicas de mínimos cuadrados de matriz completa.

Síntesis paralela de ligandos de carbonilamino fulveno.

Se sintetizaron los ligandos de carbonilamino fulveno A, B, C, D, ... U en paralelo con un Büchi Syncore. En cada tubo, se introdujeron de 0,2 a 0,6 mmol de hidroxicarbonil fulveno con 1,1 equivalentes de amina, 0,5 mg de ácido paratolueno-sulfónico (PTSA) y 20 ml de etanol.

$$R_1$$
 + H_2N-R_2 EtOH PTSA R_1 R_1 R_2

5

10

15

20

Las mezclas se calentaron durante un periodo de tiempo de 12 h a una temperatura de 80°C. Los ligandos A, B, C, J, K y L se calentaron durante 12 horas más a una temperatura de 110°C. Los ligandos D y H se cristalizaron en etanol. Por lo demás, el disolvente se evaporó al vacío durante 1 noche y los productos brutos se purificaron por cromatografía en columna sobre gel de sílice y se secaron sobre MgSO₄ dando nuevos ligandos de carbonilamino fulveno. Varios de los ligandos sintetizados de acuerdo con la presente invención se muestran en la Figura 1. Los resultados para las diferentes aminas se muestran en la TABLA I para bencilamina, en la TABLA II para furfurilamina y en la TABLAIII para picolilamina.

EtOAc/C7 1/1 254,24 105,1 0,413 0,455 136 20 တ EtOAc/C7 1/1 167,6 0,406 0,369 108 44 recristalización 334,37 200,0 EtoH 0,598 0,658 208 72 Σ DCM/C7 454,56 109,7 0,265 0,241 29 89 recristalización 475,68 386,53 218,5 0,565 0,622 230 89 EtOAc/C7 1/1 274,31 168,2 0,613 0,674 200 74 EtOAc/C7 1/1 286,41 165,6 0,636 0,578 144 69 M hidroxicarbonil fulveno m hidroxicarbonil fulveno ${\sf M}$ carbonilamino fulveno m carbonilamino fulveno n hidroxicabonil fulveno n _{amina} (mmol) Purificación V amina (µI) (mmol) (lom/g)

6

TABLA I. Síntesis con bencilamina.

			(continuación)				
TABLA I. Síntesis con bencilamina. (continuación)	ión)						
n carbonilamino fulveno	0,383	0,550	0,484	0,125	0,491	0,199	968'0
(mmol)							
Rendimiento (%)	99	06	98	52	82	54	96
Rendimiento (%)	99	06	98	52	82	54	96

EtOAc/C7 1/1 254,24 333,36 120,6 0,474 0,522 22 EtOAc/C7 1/1 454,16 533,28 168,2 0,370 0,407 44 Ø EtOAc/C7 1/1 334,37 168,2 0,503 0,553 49 Z DCM/C7 454,56 533,68 108,6 0,239 0,263 29 EtOAc/C7 1/1 386,53 465,65 221,7 0,574 0,631 69 ΣĮ EtOAc/C7 1/1 353,43 274,31 161,8 0,649 0,590 Ш 7 EtOAc/C7 1/1 286,41 365,53 164,0 0,573 0,630 69 M hidroxicarbonil fulveno M hidroxicarbonil fulveno M carbonilamino fulveno n hidroxicabonil fulveno Purificación V amina (µl) (lom/g) (mmol) (mg)

TABLA II Síntesis con furfurilamina

	153,0		0,459		26
	108,0		0,203		55
(continuación)	76,0		0,183		36
	93,0		0,174		73
	206,0		0,442		11
	195,0		0,552		94
	178,0		0,487		82
TABLA II Síntesis con furfurilamina	M carbonilamino fulveno	(gm)	n carbonilamino fulveno	(mmol)	Rendimiento (%)
TABLA II					

9

EtOAc = acetato de etilo, DCM = diclorometano, C7 = heptano, EtOH = etanol

EtOAc/C7 1/1 254,24 0,450 0,495 54 344,38 EtOAc/C7 2/1 454,16 0,356 161,8 0,392 43 544,30 œ 334,37 170,3 0,509 0,560 EtOAc/C7 2/1 61 424,51 454,56 Éter/C7 1/1 205,6 0,498 0,452 54 544,70 EtOAc/C7 1/1 386,53 0,579 223,7 0,637 70 EtOAc/C7 1/1 274,31 0,576 158,1 0,634 69 364,45 EtOAc/C7 1/1 286,41 0,610 174,7 0,671 73 376,55 ပျ TABLA III Síntesis con 2-picolilamina M hidroxicarbonil fulveno m hidroxicarbonil fulveno M carbonilamino fulveno n hidroxicabonil fulveno n _{amina} (mmol) Purificación V amina (M) (lom/g) (g/mol) (mmol)

TABLA III Síntesis con 2-picolilamina	picolilamina			(continuación)				
m carboni	m carbonilamino fulveno	187	193	187	174	129	109	93
(mg)								
n carbonile	$\sf n$ carbonilamino fulveno	0,497	0,530	0,392	0,319	0,304	0,200	0,270
(Iomm)								
Rendin	Rendimiento (%)	8	92	89	74	09	56	09
EtOAc = acetato de etilo, DCM = diclorometano, C7 = heptano, EtOH = etanol	DCM = diclorometano, C7	′ = heptano, l	EtOH = etanol					

11

Ligando A: 1-(ciclohexanoil)-6-bencilamino-6-ciclohexil fulveno

C₂₆H₃₃NO Peso Mol.: 375,54632

Sólido verde pálido. Rendimiento: 66%

RMN de ¹H (CDCl₃, 300 MHz, ppm) δ : 14,87 (1 H, s, N¹⁶H), 7,31 (2 H, d, J = 0,03 Hz, C²H y C⁴H), 7,21 (5 H, m, C¹⁹H, C²⁰H y C²¹H), 6,19 (1 H, s, C³H), 4,63 (2 H, d, J = 0,23 Hz, C¹⁷H), 3,44-2,75 (2 H, m, C¹²H y C⁷H), 1,83-0,97 (20 H, m, C⁸H, C⁹H, C¹⁰H, C¹³H, C¹⁴H, C¹⁵H)

RMN de ^{13}C (CDCl₃, 50 MHz, ppm) δ : 199,23 (C¹¹), 173,58 (C⁶), 137,93 (C¹⁸), 131,82 (C²), 130,60 (C⁴), 128,84 (C²⁰), 127,67 (C²¹), 127,14 (C¹⁹), 123,97 (C¹), 117,01 (C⁵), 116,03 (C³), 47,87 (C¹⁷), 47,04 (C¹²), 42,03 (C¹⁵), 32,26 (C⁸), 31,06 (C¹⁰), 26,99 (C¹³), 26,32 (C¹⁴), 26,21 (C⁹), 25,85 (C⁷).

15 **EMAR**: Calculado para M+ ($C_{26}H_{33}NO$) m/z = 375,25621, encontrado 375,2571 (2 ppm).

Anál. Calculado para C₂₆H₃₃NO: C: 83,15, H: 8,86, N: 3,73, O: 4,26 encontrado C: 82,71, H:8,91, N: 4,00.

Ligando B: 1-(ciclohexanoil)-6-(furan-2-il metil)amino-6-ciclohexil fulveno

C₂₄H₃₁NO₂ Peso Mol.: 365,51

Sólido castaño pálido. Rendimiento: 85%

25 **RMN de ^{1}H** (CDCl₃, 300 MHz, ppm) δ : 14,92 (1 H, s, N 16 H), 7,56 (1 H, d, J = 0,02 Hz, C 21 H) 7,43 (2 H, d, J = 0,025 Hz, C 2 H y C 4 H), 7,28 (1 H, m, C 20 H), 6,34-6,40 (2 H, m, C 3 H y C 19 H), 4,78 (2 H, d, J = 0,24 Hz, C 17 H), 3,52-3,09 (2 H, m, C 12 H y C 7 H), 2,19-1,31 (20 H, m, C 38 H, C 9 H, C 10 H, C 13 H, C 14 H, C 15 H)

RMN de 13 C (CDCl₃, 50 MHz, ppm) δ : 199,11 (C¹¹), 173,22 (C⁶), 150,40 (C¹⁸), 142,43 (C²¹), 132,02 (C²), 130,83 (C⁴), 124,01 (C¹), 117,06 (C⁵), 116,12 (C³), 110,68 (C²⁰), 107,90 (C¹⁹), 46,93 (C⁷), 41,74 (C¹¹), 40,95 (C¹⁷), 32,44 (C¹³), 30,98 (C¹⁵), 27,00 (C⁸), 26,28 (C⁹), 26,17 (C¹⁴), 25,87 (C¹²).

EMAR: Calculado para M+. $(C_{31}H_{31}NO_2)$ m/z = 365,23548, encontrado 365,2344 (2 ppm).

Anál. Calculado para C₂₄H₃₁NO₂: C: 78,86, H: 8,55, N: 3,83, O: 8,75 encontrado C: 78,54, H: 8,60, N: 3,89.

Ligando C: 1-(ciclohexanoil)-6-(piridin-2-metil)amino-6-ciclohexil fulveno

C₂₅H₃₂N₂O Peso Mol.: 376,53438

Sólido castaño pálido. Rendimiento: 81%

30

5

RMN de 1 H (CDCl₃, 300 MHz, ppm) δ : 15,01 (1 H, s, N¹⁶H), 8,59 (1 H, d, J = 0,01 Hz, C²²H), 7,68 (1 H, t, J = 0,025 Hz, C²⁰H), 7,45-7,51 (2 H, m, C²H y C⁴H), 7,36 (1 H, s, C¹⁹H), 7,22 (1 H, t, J = 0,02 Hz, C²¹H), 6,34 (1 H, t, J = 0,02 Hz, C³H), 4,92 (2 H, d, J = 0,26 Hz, C¹⁷H), 3,60-2,95 (2 H, m, C¹²H y C⁷H), 1,96-1,31 (20 H, m, C⁸H, C⁹H, C¹⁰H, C¹³H, C¹⁴H, C¹⁵H)

5 **RMN de** ¹³**C** (CDCl₃, 50 MHz, ppm) δ: 199,72 (C¹¹), 173,84 (C⁶), 157,76 (C¹⁸), 149,35 (C²²), 137,09 (C¹⁹), 135,48 (C²⁰), 132,15 (C²), 130,88 (C⁴), 124,03 (C¹), 122,59 (C²¹), 117,06 (C⁵), 116,28 (C³), 49,88 (C¹⁷), 46,95 (C⁷), 41,86 (C¹⁰), 32,38 (C¹³), 31,02 (C¹⁵), 26,82 (C⁸), 26,26 (C⁹), 26,17 (C¹⁴), 25,76 (C¹²).

EMAR: Calculado para M+. $(C_{25}H_{32}N_2O)$ m/z = 376,25146, encontrado 376,2503 (3 ppm).

Anál. Calculado para C₂₅H₃₂N₂O: C: 79,75, H: 8,57, N: 7,44, O: 4,25 encontrado C: 79,34, H: 8,67, N: 7,27.

10 <u>Ligando D: 1-benzoil-6-bencilamino-6-fenil fulveno</u>

15

20

C₂₆H₂₁NO Peso Mol.: 363,45104

Sólido castaño Rendimiento: 90%

RMN de ^{1}H (CDCI₃, 300 MHz, ppm) δ : 15,28 (1 H, s, N 16 H), 7,51 (2 H, m, C 13 H), 7,20-6,88 (13 H, m, C 8 H, C 9 H. C 10 H, C 14 H, C 15 H, C 19 H, C 20 H, C 21 H), 6,74 (1 H, m, C 2 H), 5,96 (1 H, m, C 4 H), 5,75 (1 H, t, J = 0,02 Hz, C 3 H), 3,68 (2 H, d, J = 0,03 Hz, C 17 H)

RMN de 13 **C** (CDCl₃, 50 MHz, ppm) δ : 191,13 (C¹¹), 166,39 (C⁶), 142,42 (C¹²), 139,71 (C⁷), 137,05 (C¹⁸), 135,80 (C¹⁵), 134,04 (C¹⁰), 129,94 (C²), 129,72 (C⁴), 128,94 (C²⁰), 128,92 (C¹³), 128,40 (C¹⁴), 128,32 (C⁹), 127,87 (C^B), 127,82 (C²¹), 127,47 (C¹⁹), 125,35 (C¹), 119,98 (C⁵), 118,20 (C³), 49,76 (C¹⁷)

EMAR: Calculado para M^{+} .($C_{26}H_{21}NO$) m/z = 363,16231, encontrado 363,1594 (1 ppm).

25 **Anál.** Calculado para C₂₆H₂₁NO: C: 85,92, H: 5,82, N: 3,85, O: 4,40 encontrado C: 85,46, H: 6,06, N: 3,99.

Cristalografía. Se obtuvieron monocristales del compuesto D adecuados para la determinación monocristalina por rayos X, por evaporación de una solución saturada en THF.

Fórmula empírica	C26 H21 N O
Peso formula	363,44
Temperatura	120(2) K
Longitud de onda	0,71073 A
Sistema cristalino, grupo espacial	Monoclínico, P 21/c
Dimensiones de la celdilla unitaria	a = 6,22050(10) A alfa = 90 °
	b = 17.5271(3) A beta = 91,6710(10) °
	c = 18,2524(3) A gamma = 90 °
Volumen	1989,16(6) A ³
Z, Densidad calculada	4, 1,214 Mg/m ³
Coeficiente de absorción	0,073 mm ⁻¹
F(000)	768

Tamaño del cristal 0,2 x 0,15 x 0,1 mm

Intervalo theta para recogida de datos 3,22 a 27,47 °

Índices limitantes -8<=h<=8, -22<=k<=22, -23<=l<=23

Reflexiones recogidas / único 8885 / 4522 [R(int) = 0,0472]

Completitud hasta theta = 27,47 99,3 %

Corrección de la absorción ninguna

Procedimiento de refinado Mínimos cuadrados matriz completa en F²

Datos / restricciones / parámetros 4522 / 0 / 257

Bonanza del ajuste en F^2 1,078

 Índices R finales [I>2sigma (I)]
 R1 = 0,0607, wR2 = 0,1598

 Índices R (todos los datos)
 R1 = 0,0736, wR2 = 0,1702

Coeficiente de extinción 0,075(9)

Mayor dif. pico y valle 0,337 y -0,271 e.A⁻³

La estructura molecular del ligando D obtenida por rayos X se muestra en la figura 2.

Ligando E: 1-benzoil-6-(1-(furan-2-metil)amino)-6-fenil fulveno

15 13 2 3 4 15 5 8 9 10 17 17 19 19 10

5

15

20

C₂₄H₁₉NO₂ Peso Mol.: 353,41316

Aceite rojo Rendimiento: 94%

10 **RMN de** ¹H (CDCl₃, 300 MHz, ppm) δ: 14,36 (1 H, s, N¹⁶H), 7,83 (2 H, m, C¹³H), 7,59-7,50 (8 H, m, C⁸H, C⁹H, C¹⁰H, C¹⁴H, C¹⁵H), 7,43 (1 H, d, J = 0,01 Hz, C²H), 7,20 (1 H, m, C²¹H), 6,50 (1 H, t, J = 0,01 Hz, C²⁰H), 6,37 (1 H, m, C⁴H), 6,33-6,30 (2 H, m, C³H y C¹⁹H), 4,49 (2 H, d, J = 0,02 Hz, C¹⁷H)

RMN de ¹³**C** (COCI₃, 50 MHz, ppm) δ : 191,13 (C¹¹), 166,07 (C⁶), 149,82 (C¹⁸), 142,82 (C²¹), 142,30 (C¹²), 139,99 (C⁷), 135,95 (C¹⁵), 133,85 (C¹⁰), 129,95 (C²), 129,77 (C⁴), 128,92 (C¹³), 128,53 (C¹⁴), 128,35 (C⁹), 127,84 (C⁸), 125,48 (C¹), 119,92 (C⁵), 118,35 (C³), 110,64 (C²⁰), 108,22 (C¹⁹), 42,93 (C¹⁷).

EMAR: Calculado para M+. $(C_{24}H_{19}NO_2)$ m/z = 353,14158, encontrado 353,1417 (0 ppm).

Anál. Calculado para C₂₄H₁₉NO₂: C: 81,56, H: 5,42, N: 3,96, O: 9,05 encontrado C: 80,35, H: 5,64, N: 4,13.

Ligando F: 1-benzoil-6-(1-(piridin-2-metil)amino)-6-fenil fulveno

C₂₅H₂₀N₂O Peso Mol.: 364,4391

Sólido castaño Rendimiento: 92%

RMN de ¹H (CDCl₃, 300 MHz, ppm) δ : 14,49 (1 H, s, N¹⁶H), 8,56 (1 H, d, J = 0,01 Hz, C²²H), 7,80 (2 H, m, C¹³H), 7,70 (1 H, t, J = 0,025 Hz, C²⁰H), 7,54-7,42 (9 H, m, C⁸H, C⁹H, C¹⁰H, C¹⁴H, C¹⁵H, y C¹⁹H), 7,22-7,17 (2 H, m, C²H, C²¹H), 6,48 (1 H, m, C⁴H), 6,28 (1 H, t, J = 0,02 Hz, C³H), 4,67 (2 H, d, J = 0,02 Hz, C¹⁷H)

RMN de ¹³**C** (CDCl₃, 50 MHz, ppm) δ : 191,14 (C¹¹), 166,69 (C⁶), 156,79 (C¹⁸), 149,59 (C²²), 142,27 (C⁷), 139,99 (C¹²), 137,13 (C²⁰), 136,02 (C¹⁰), 133,89 (C¹⁵), 129,95 (C²), 129,72 (C⁴), 128,92 (C¹³), 128,31 (C¹⁴), 128,30 (C⁹), 127,81 (C⁸), 125,50 (C⁵), 122,60 (C¹⁹), 121,31 (C²¹), 119,97 (C¹), 118,33 (C³), 51,41 (C¹⁷).

EMAR: Calculado para M+.($C_{25}H_{20}N_2O$) m/z = 364,15756, encontrado 364,1557 (5 ppm).

Anál. Calculado para: C: 82,39, H: 5,53, N: 7,69, O: 4,39 encontrado C: 82,53, H: 5,56, N: 7,61.

<u>Ligando G: 1-(4-tercbutilbenzoil)-6-bencilamino-6-(4-tercbutilfenil) fulveno</u>

18 17 16 15 2 3 4 O HN 20 10 11 12 22 23 25 24

10

15

20

25

30

40

C₃₄H₃₇NO Peso Mol.: 475,66368

Sólido amarillo Rendimiento: 85%

RMN de 1 H (CDCl₃, 300 MHz, ppm) δ : 14,32 (1 H, s, N²⁰H), 7,57 (2 H, m, C¹⁵H), 7,40-7,13 (11 H, m, C⁸H, C⁹H, C¹⁶H, C²³H, C²⁴H, C²⁵H), 6,34 (1 H, m, C²H), 6,11 (1 H, m, C⁴H), 5,17 (1 H, t, J = 0,02 Hz, C³H), 4,38 (2 H, d, J = 0,02 Hz, C²¹H), 1,30 (18 H, d, J = 0,03 Hz, C¹²H₃).

RMN de ^{13}C (CDCl₃, 50 MHz, ppm) δ : 191,05 (C¹³), 166,71 (C⁶), 153,13 (C¹⁷), 152,84 (C¹⁰), 139,50 (C¹⁴), 139,28 (C⁷), 137,13 (C²²), 135,51 (C²), 131,01 (C⁴), 128,87 (C²⁴), 128,79 (C⁸), 128,20 (C⁹), 127,63 (C¹⁶), 127,44 (C¹⁵), 125,19 (C²⁵), 125,07 (C²³), 124,70 (C¹), 119,92 (C⁵), 117,70 (C³), 49,68 (C²¹), 34,92 (C¹¹ y C¹⁸), 31,35 (C¹² y C¹⁹)

EMAR: Calculado para M+.($C_{34}H_{37}NO$) m/z = 475,28752, encontrado. 475,2899 (5 ppm)

Anál. Calculado para C₃₄H₃₇NO: C: 85,85, H: 7,84, N: 2,94, O: 3,36 encontrado C: 86,13, H: 7,99, N: 2,99.

Ligando H: 1-(4-tercbutilbenzoil)-6-(1-(furan-2-metil)amino)-6-(4-tercbutilfenil) fulveno

18 15 2 3 19 14 13 1 5 8 9 0 HN 20 10 11 21 22 12 C₃₂H₃₅NO₂ Peso Mol.: 465,6258

Sólido amarillo Rendimiento: 77%

35 **RMN de** ¹H (CDCl₃, 300 MHz, ppm) δ: 14,14 (1 H, s, N²⁰H), 7,56 (2 H, d, J = 0,03 Hz, C¹⁵H), 7,42-7,27 (6 H, m, C⁸H, C⁹H, C¹⁶H), 7,23 (1 H, s, C²H), 7,03 (1 H, d, J = 0,01 Hz, C²⁵H), 6,32 (1 H, t, J = 0,01 Hz, C²⁴H), 6,18-6,09 (1 H, m, C³H, C⁴H y C²³H), 4,32 (2 H, d, J = 0,02 Hz, C²¹H), 1,26 (18 H, d, J = 0,03 Hz, C¹²H₃ y C¹⁹H₃)

EMAR: Calculado para M+.($C_{32}H_{35}NO_2$) m/z = 465,26678, encontrado 465,2669 (0 ppm).

Anál. Calculado para C₃₂H₃₅NO₂: C: 82,54, H: 7,58, N: 3,01, O: 3,01 encontrado C: 81,98, H: 7,57, N: 3,14.

Ligando I: 1-(4-tercbutilbenzoil)-6-(1-(piridin-2-metil)amino)-6-(4-tercbutilfenil) fulveno

5

10

20

25

35

C₃₂H₃₆NO₂ Peso Mol.: 476,65174

Sólido amarillo Rendimiento: 68%

RMN de ¹H (CDCl₃, 300 MHz, ppm) δ : 14,35 (1 H, s, N²⁰H), 8,37 (1 H, m, C²⁶H), 7,54 (2 H, m, C¹⁵H), 7,48 (1 H, d, C²⁴H), 7,35-7,19 (7 H, m, C⁸H, C⁹H, C¹⁶H, C²H), 7,05 (1 H, m, C²³H), 7,01 (1 H, t, J = 0,02 Hz, C²⁵H), 6,34 (1 H, m, C⁴H), 6,11 (1 H, t, J = 0,02 Hz, C³H), 4,52 (2 H, d, J = 0,02 Hz, C²¹H), 1,24 (18 H, s, C¹²H₃) V

RMN de ¹³**C** (CDCl₃, 50 MHz, ppm) δ: 191,07 (C¹³), 167,04 (C⁶), 157,02 (C²⁶), 153,21 (C¹⁷) 152,85 (C¹⁰), 149,53 (C²⁴), 139,70 (C⁷), 139,46 (C¹⁴), 137,12 (C²³), 135,90 (C²), 130,93 (C⁴), 128,99 (C⁸), 128,21 (C⁹), 125,46 (C¹⁶), 125,16 (C¹⁵), 124,74 (C¹), 122,50 (C²²), 121,24 (C²⁵), 120,06 (C⁵), 118,02 (C³), 51,47 (C²¹), 34,92 (C¹¹ y C¹⁸), 31,39 (C¹² y C¹⁹).

EMAR: Calculado para M+. $(C_{33}H_{36}N_2O)$ m/z = 476,28276, encontrado 476,2830 (0 ppm).

Anál. Calculado para C₃₃H₃₆N₂O: C: 83,15, H: 7,61, N: 5,88, O: 3,36 encontrado C: 82,65, H: 7,77, N: 5,81.

Ligando J: 1-(difenilacetil)-6-bencilamino-6-(difenilmetil) fulveno

C₄₀H₃₃NO Peso Mol.: 543,69612

Sólido amarillo Rendimiento: 52%

30 **RMN de** 1 H (CDCl₃, 300 MHz, ppm) δ: 14,95 (1 H, s, N¹⁸H), 7,64 (1 H, m, C²H), 7,38-7,10 (25 H, m, C⁹H, C¹⁰H, C¹¹H, C¹⁵H, C¹⁶H, C¹⁷H, C²¹H, C²²H y C²³H), 7,04 (1 H, m, C⁴H), 6,31 (1 H, s, C¹³H), 6,25-6,22 (2 H, m, C³H y C⁷H,), 4,54 (2 H, d, J = 0,02 Hz, C¹⁹H).

RMN de 13 C (CDCl₃, 50 MHz, ppm) δ : 193,03 (C¹²), 167,51 (C⁶). 141,30 (C¹⁴), 138,85 (C⁸), 136,42 (C²⁰), 134,93 (C²), 133,10 (C⁴), 129,27 (C¹⁶), 128,95 (C¹⁵), 128,92 (C¹⁰), 128,58 (C²²), 128,39 (C⁹), 127,31 (C¹⁷), 126,96 (C²¹), 126,65 (C¹¹), 125,92 (C¹), 120,39 (C⁵), 117,60 (C³), 58,95 (C¹³), 52,10 (C¹⁹), 49,46 (C⁷).

EMAR: Calculado para M+.($C_{40}H_{33}NO$) m/z = 543,25621, encontrado 543,2539 (4 ppm).

Anál. Calculado para C₄₀H₃₃NO: C: 88,36, H: 6,12, N: 2,58, O: 2,94 encontrado C: 87,74, H: 6,07, N: 2,52.

Ligando K: 1-(difenilacetil)-6-(1-(furan-2-metil)amino)-6-(difenilmetil) fulveno

16 17 2 3 4 11 10 10 HN 16 9 10 23 22 21

C₃₈H₃₁NO₂ Peso Mol.: 533,65824

Sólido amarillo Rendimiento: 73%

10

15

5

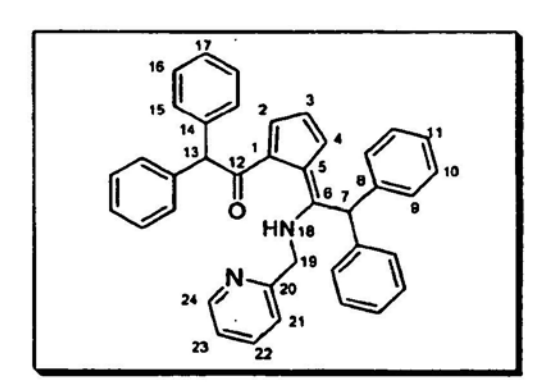
RMN de ^{13}C (CDCl₃, 50 MHz, ppm) δ : 192,99 (C¹²), 167,02 (C⁶), 149,35 (C²⁰), 142,34 (C²³), 141,27 (C¹⁴), 138,66 (C⁸), 135,22 (C²), 133,07 (C⁴), 129,27 (C¹⁶), 128,99 (C¹⁵), 128,93 (C¹⁰), 128,36 (C⁹), 127,36 (C¹⁷), 126,62 (C¹¹), 126,01 (C¹), 120,29 (C⁵), 117,74 (C³), 110,52 (C²²), 107,87 (C²¹), 58,94 (C¹³), 52,10 (C¹⁹), 43,26 (C⁷).

EMAR: Calculado para M+.($C_{38}H_{31}NO_2$) m/z = 533,23548, encontrado 533,2349 (1 ppm).

Anál. Calculado para C₃₈H₃₁NO₂: C: 85,52, H: 5,86, N: 2,62, O: 6,00 encontrado C: 85,27, H: 5,95, N: 2,59.

Ligando L: 1-(difenilacetil)-6-(1-(piridin-2-metil)amino)-6-(difenilmetil) fulveno

20



C₃₉H₃₂N₂O Peso Mol.: 544,68418

Sólido castaño Rendimiento: 70%

30

35

25

 $\begin{array}{l} \textbf{RMN de} \ ^1\textbf{H} \ (\text{CDCI}_3,\ 300\ \text{MHz},\ ppm) \ \delta:\ 14,94\ (1\ \text{H},\ t,\ J=0,02\ \text{Hz},\ N^{18}\text{H},),\ 8,45\ (1\ \text{H},\ d,\ J=0,02\ \text{Hz}\ C^{24}\text{H}),\ 7,68\ (1\ \text{H},\ m,\ C^2\text{H}),\ 7,50\ (1\ \text{H},\ t,\ J=0,03\ \text{Hz}\ C^{22}\text{H}),\ 7,46\text{-}7,27\ (21\ \text{H},\ m,\ C^9\text{H},\ C^{10}\text{H},\ C^{11}\text{H},\ C^{15}\text{H},\ C^{16}\text{H},\ C^{17}\text{H},\ C^{21}\text{H}\ y\ C^{23}\text{H}),\ 7,09\ (1\ \text{H},\ m,\ C^4\text{H}),\ 6,39\ (1\ \text{H},\ s,\ C^{13}\text{H}),\ 6,27\ (1\ \text{H},\ t,\ J=0,02\ \text{Hz},\ C^3\text{H}),\ 6,25\ (1\ \text{H},\ s,\ C^7\text{H}),\ 4,76\ (2\ \text{H},\ d,\ J=0,02\ \text{Hz},\ C^{19}\text{H}). \end{array}$

RMN de 13 C (CDCl₃, 50 MHz, ppm) δ : 193,22 (C 12), 167,99 (C 6), 156,45 (C 24), 149,16 (C 22), 141,25 (C 14), 138,54 (C 8), 136,60 (C 21), 135,50 (C 2), 133,42 (C 4), 129,27 (C 16), 129,00 (C 15), 128,85 (C 10), 128,42 (C 9), 127,22 (C 17), 126,68 (C 11), 126,06 (C 1), 122,20 (C 22), 120,8 (C 25), 120,38 (C 5), 117,90 (C 3) (C 22), (C 21), 59,03 (C 13), 52,06 (C 19), 51,17 (C 7).

EMAR: Calculado para M+.($C_{39}H_{32}N_2O$) m/z = 544,25146, encontrado 544,2533 (3 ppm).

Anál. Calculado para C₃₉H₃₂N₂O: C: 86,00, H: 5,92, N: 5,14, O: 2,94 encontrado C: 86,08, H: 6,14, N: 4,80.

Ligando M: 1-(4-metoxibenzoil)-6-(bencilamino)-6-(4-metoxifenil) fulveno

MeO 16 2 3 4 15 13 12 15 5 8 9 10 OMe 19 20 21 23 22

5

15

20

25

30

C₂₈H₂₅NO₃ Peso Mol.: 423,503

Sólido amarillo Rendimiento: 82%

10 **RMN de** ¹H (CDCl₃, 300 MHz, ppm) δ: 14,26 (1 H, s, N¹⁸H), 7,64 (2 H, m, C¹⁴H), 7,22-7,12 (7 H, m, C⁸H, C²H, C²²H y C²³H), 7,03 (1 H, m, C²H), 6,90 (4 H, m, C⁹H y C¹⁵H), 6,12 (1 H, m, C⁴H), 3,77 (1 H, t, J = 0,02 Hz, C³H), 4,39 (2 H, d, J = 0,02 Hz, C¹⁹H), 3,78 (3 H, s, C¹⁷H), 3,77 (3 H, s, C¹¹H).

RMN de ¹³**C** (CDCl₃, 50 MHz, ppm) δ : 190,41 (C¹²), 166,52 (C⁶), 161,26(C¹⁶), 160,56 (C¹⁰), 138,87 (C²⁰), 137,27 (C¹³), 135,20 (C²), 134,82 (C⁴), 131,06 (C¹⁵), 130,01 (C⁹), 128,81 (C²²), 127,61 (C²³), 127,28 (C²¹), 126,14 (C⁷), 125,19 (C¹), 120,09 (C⁵), 117,59 (C³), 113,56 (C¹⁴), 113,06 (C⁸), 55,42 (C¹⁷), 55,40 (C¹¹), 49,57 (C¹⁹).

EMAR: Calculado para M+. $(C_{28}H_{25}NO_3)$ m/z = 423,18344, encontrado 423,1821 (3 ppm).

Anál. Calculado para C₂₈H₂₅NO₃: C: 79,41, H: 5,95, N: 3,31, O: 11,33 encontrado C: 79,62, H: 5,95, N: 3,36.

Ligando N: 1-(4-metoxibenzoil)-6-(1-(furan-2-metil)amino)-6-(4-metoxifenil) fulveno

17 MeO 18 2 3 4 15 8 9 10 11 OMe 19 20 21 22

C₂₆H₂₃NO₄ Peso Mol.: 413,46512

Sólido amarillo Rendimiento: 36%

RMN de ^{1}H (CDCl₃, 300 MHz, ppm) δ : 14,07 (1 H, s, N ^{18}H), 7,63 (2 H, d, J = 0,04 Hz, C ^{14}H), 7,29 (2 H, d, J = 0,04 Hz, C ^{8}H), 7,27 (1 H, m, C ^{23}H), 7,03 (1 H, m, C ^{24}H), 6,92 (2 H, d, J = 0,04 Hz, C ^{15}H), 6,83 (2 H, d, J = 0,04 Hz, C ^{9}H), 6,33 (1 H, m, C ^{4}H), 6,22 (1 H, m, C ^{22}H), 6,15 (1 H, d, J = 0,01 Hz, C ^{21}H), 6,12 (1 H, t, J = 0,02 Hz, C ^{3}H), 4,35 (2 H, D, J = 0,02 Hz, C ^{19}H), 3,80 (3 H, s, C ^{17}H), 3,78 (3 H, s, C ^{11}H).

RMN de 13 **C** (CDCl₃ 50 MHz, ppm) δ : 190,41 (C¹²), 166,52 (C⁶), 161,26(C¹⁶), 160,56 (C¹⁰), 142,64 (C²³), 139,15 (C²⁰), 137,27 (C¹³), 135,35 (C²), 134,82 (C⁴), 131,07 (C15), 130,17 (C⁹), 126,14 (C⁷), 125,19 (C¹), 120,09 (C⁵), 117,74 (C³), 113,60 (C¹⁴), 113,02 (C⁸), 110,51 (C²²), 107,96 (C²¹), 55,40 (C¹⁷ y C¹¹), 42,84 (C¹⁹).

EMAR: Calculado para M+.($C_{26}H_{23}NO_4$) m/z = 413,16271, encontrado 413,1614 (3 ppm)

35 **Anál.** Calculado para: C: 75,53, H: 5,61, N: 3,39, O: 15,48 encontrado C: 74,96, H: 5,59, N: 3,36.

Ligando O: 1-(4-metoxibenzoil)-6-(1-(piridin-2-metil)amino)-6-(4-metoxifenil) fulveno

17 MeO 16 15 14 13 12 14 13 14 15 16 17 18 19 19 20 21 21

C₂₇H₂₄N₂O₃ Peso Mol.: 424,49106

Sólido amarillo Rendimiento: 60%

RMN de 1 H (CDCl₃, 300 MHz, ppm) δ: 14,38 (1 H, s, N 18 H), 8,53 (1 H, d, J = 0,01 Hz, C 24 H), 7,80 (2 H, d, J = 0,03 Hz, C 14 H), 7,70 (1 H. t, J = 0,02 Hz, C 22 H), 7,42 (1 H, d, J = 0,02 Hz, C 21 H), 7,33 (2 H, d, J = 0,02 Hz, C 8 H), 7,22-7,17 (2 H, m, C 2 H y C 23 H), 6,96 (4 H, d, J = 0,03 Hz, C 15 H y C 9 H), 6,47 (1 H, m, C 4 H), 6,26 (1 H, t, J = 0,02 Hz, C 3 H), 4,67 (2 H, d, J = 0,03 Hz, C 19 H), 3,88 (3 H, s, C 17 H), 3,87 (3 H, s, C 11 H).

RMN de ¹³**C** (CDCl₃, 50 MHz, ppm) δ : 190,46 (C¹²), 166,80 (C⁶), 161,35 (C¹⁶), 160,55 (C¹⁰), 156,90 (C²⁴), 149,01 (C²²), 139,34 (C²⁰), 137,61 (C¹³), 135,57 (C²), 134,68 (C⁴), 131,14 (C¹⁵), 130,01 (C⁹), 125,90 (C⁷), 125,44 (C¹), 122,65 (C²), 121,45 (C²³), 120,19 (C⁵). 117,92 (C³). 113,67 (C¹⁴), 113,08 (C⁸), 55,39 (C¹⁷ y C¹¹), 50,99 (C¹⁹).

EMAR: Calculado para M+.($C_{27}H_{24}N_2O_3$) m/z = 424,17869, encontrado 424,1775 (2 ppm).

Anál. Calculado para C₂₇H₂₄N₂O₃: C: 76,39, H: 5,70, N: 6,60, O: 11,31 encontrado C: 76,20, H: 5,73, N: 6,77.

Ligando P: 1-(3,4,5-trimetoxibenzoil)-6-(bencilamino)-6-(3,4,5-trimetoxifenil) fulveno

OMe
MeO 17
18 16 13 14 13 15 8 OMe
MeO 17
18 16 16 17
19 OMe

HN 20 10 12
21 OMe

23 OMe

C₃₂H₃₃NO₇ Peso Mol.: 543,60692

Sólido amarillo Rendimiento: 54%

RMN de 1 H (CDCl₃, 300 MHz, ppm) δ : 14,36 (1 H, t, J = 0,02 Hz, N²⁰H), 7,33-7,22 (6 H, m, C²H, C²³H, C²⁴H y C²⁵H), 7,03 (2 H, s, C¹⁵H), 6,57 (1 H, m, C⁴H), 6,51 (2 H, s, C⁸H), 6,27 (1 H, t, J = 0,01 Hz, C³H), 4,50 (2 H, d, J = 0,02 Hz, C²¹H), 3,92 (12 H, s, C¹¹H y C¹⁸H), 3,74 (6 H, s, C¹²H y C¹⁹H).

RMN de ¹³**C** (CDCl₃, 50 MHz, ppm) δ : 190,40 (C¹³), 166,52 (C⁶), 152,95 (C¹⁶), 152,60 (C⁹), 139,70 (C¹⁷), 139,39 (C¹⁰), 138,70 (C¹⁴), 137,58 (C²²), 137,53 (C²), 135,64 (C⁴), 128,96 (C⁷), 128,80 (C²⁴), 127,64 (C²³), 124,78 (C¹), 119,46 (C⁵), 118,17 (C³), 106,42 (C¹⁵), 105,63 (C⁸), 61,05 (C¹⁹), 60,94 (C¹²), 56,26 (C¹⁸), 56,12 (C¹¹), 49,56 (C²¹).

EMAR: Calculado para M+. $(C_{32}H_{33}NO_7)$ m/z = 543,22570, encontrado 543,2273 (2 ppm).

Anál. Calculado para C₃₂H₃₃NO₇: C: 70,70, H: 6,12, N: 2,58, O: 20,60 encontrado C: 70,93, H: 6,21, N: 2,61.

35

5

15

20

25

Ligando Q: 1-(3,4,5-trimetoxibenzoil)-6-(1-(furan-2-metil)amino)-6-(3,4,5-trimetoxi fenil) fulveno

OMe MeO 17 18 16 MeO 15 14 13 15 8 OMe OHN 20 10 12 OMe 25 23 23

C₃₀H₃₁NO₈ Peso Mol.: 533,56904

Sólido amarillo Rendimiento: 55%

RMN de ¹H (CDCl₃, 300 MHz, ppm) δ : 14,13 (1 H, t, J = 0,02 Hz, N²⁰H), 7,38 (1 H, m, C²⁵H), 7,21 (1 H, c, J = 0,01 Hz, C²H), 7,00 (1 H, s. C¹⁵H), 6,69 (1 H, s, C⁸H), 6,58 (1 H, c, J = 0,01 Hz. C⁴H), 6,34 (1 H, c, J = 0,01 Hz, C²⁴H), 6,29-6,25 (2 H, m, C³H y C²³H), 4,47 (2 H, d, J = 0,02 Hz, C²¹H), 3,96 (3 H, s, C¹⁹H), 3,92 (3 H, s, C¹²H), 3,91 (6 H, s, C¹⁸H), 3,87 (6 H, s, C¹¹H).

RMN de ¹³**C** (CDCl₃, 50 MHz, ppm) δ : 190,37 (C¹³), 166,03 (C⁶), 153,08 (C¹⁶), 152,57 (C9), 149,95 (C²⁵), 142 65 (C²²), 139,70 (C¹⁷), 139,63 (C¹⁷), 138,82 (C¹⁴), 137,44 (C²), 135,86 (C⁴), 128,82 (C⁷), 124,92 (C¹), 119,39 (C⁵), 118,31 (C³), 110,61 (C²²), 108,12 (C¹⁵), 105,85 (C⁸), 61,06 (C¹⁹), 60,93 (C¹²), 56,27 (C¹⁸), 56,25 (C¹¹), 42,92

EMAR: Calculado para M+. $(C_{30}H_{31}NO_8)$ m/z = 533,20497, encontrado 533,2035 (2 ppm).

Anál. Calculado para C₃₀H₃₁NO₈: C: 67,53, H: 5,86, N: 2,63, O: 23,99 encontrado C: 67,82, H: 5,99, N: 4,94.

Ligando R: 1-(3,4,5-trimetoxibenzoil)-6-(1-(piridin-2-metil)amino)-6-(3,4,5-trimetoxifenil) fulveno

19 OMe MeO 17 2 3 18 16 14 13 1 5 8 9 OMe MeO 15 14 13 1 5 8 9 OMe OMe 21 OMe

C₃₁H₃₂N₂O₇ Peso Mol.: 544,59498

Sólido amarillo Rendimiento: 56%

RMN de ¹H (CDCl₃, 300 MHz, ppm) δ :14,30 (1 H, t, J = 0,02 Hz, N²⁰H), 8,55 (1 H, d, J = 0,01 Hz, C²⁶H), 7,70 (1 H, t, J = 0,02 Hz, C²⁴H), 7,38 (1 H, d, J = 0,03 Hz, C²³H), 7,24-7,18 (2 H, m, C²H y C²5H), 7,02 (1 H, s, C¹⁵H), 6,62 (1 H, s, C⁸H), 6,58 (1 H, c, J = 0,02 Hz, C⁴H), 6,27 (1 H, t, J = 0,01 Hz, C³H), 4,65 (2 H, d, J = 0,02 Hz, C²¹H), 3,92 (12 H, s, C¹¹H y C¹⁸H), 3,75 (6 H, s, C¹²H y C¹⁹H).

30 **RMN de** ¹³**C** (CDCl₃, 50 MHz, ppm) δ: 190,38 (C¹³), 166,68 (C⁶), 157,03 (C²⁶), 152,98 (C¹⁶), 152,56 (C⁹), 149,60 (C²⁵), 139,62 (C¹⁷ y C¹⁰), 138,82 (C⁴), 137,46 (C²), ¹37,01 (C²²), 135,94 (C⁴), 128,89 (C⁷). 124,96 (C¹), 122,58 (C²⁵), 121,36 (C²³), 119,50 (C⁵), 118,31 (C³), 106,48 (C¹⁵), 105,80 (C⁸), 61,01 (C¹⁹), 60,93 (C¹²), 56,24 (C¹⁸), 56,15 (C¹¹), 51,27 (C²¹)

EMAR: Calculado para M+. $(C_{31}H_{32}N_2O_7)$ m/z = 544,22095, encontrado 544,2181 (5 ppm).

35 **Anál.** Calculado para $C_{31}H_{32}N_2O_7$: C: 68,37, H: 5,92, N: 5,14, O: 20,56 encontrado C: 68,16, H: 6,02, N: 4,96.

40

5

10

15

20

<u>Ligando S: 1-furanoil-6-bencilamino-6-furanil fu</u>lveno

15 13 2 3 12 11 5 5 0 HN16 8 9

5

20

25

30

35

C₂₂H₁₇NO₃ Peso Mol.: 343,38

Sólido rojo Rendimiento: 96%

RMN de ¹H (CDCl₃, 300 MHz, ppm) δ: 1,3,90 (1 H, s, N¹⁶H), 7,80 (1 H, c, J = 0,01 Hz, C¹⁵H), 7,68-7,67 (2 H, m, C¹⁰H y C¹³H), 7,35-7,21 (5 H, m, C¹⁹H, C²⁰H y C²¹H), 7,20 (1 H, m, C²H), 6,92 (1 H, c, J = 0,01 Hz, C¹⁴H), 6,76 (1 H, d, J = 0,01 Hz, C⁸H), 6,59-6,57 (2 H, m, C⁴H y C⁹H), 6,39 (1 H, t, J = 0,01 Hz, C³H), 4,65 (2 H, d, J = 0,02 Hz, C¹⁷H)

RMN de ^{13}C (CDCl₃, 50 MHz, ppm) δ : 176,37 (C 11), 154,33 (C 7), 153,95 (C 12), 146,13 (C 6), 145,32 (C 15), 144,65 (C 10), 137,64 (C 2), 137,07 (C 18), 134,91 (C 4), 128,73 (C 20). 127,69 (C 21), 127,44 (C 19), 124,71 (C 1), 119,88 (C 5), 118,83 (C 3), 117,55 (C 13), 117,34 (C 14), 11,60 (C 8), 111,45 (C 9), 50,03 (C 17).

15 **EMAR**: Calculado para M+.($C_{22}H_{17}NO_3$) m/z = 343,12084, encontrado 343,1210 (0 ppm).

Anál. Calculado para C₂₂H₁₇NO₃: C: 76,95, H: 4,99, N: 4,08, O:13,98 encontrado C: 76,75, H: 5,15, N: 3,95.

Ligando T: 1-(furanoil)-6-(1-(furan-2-metil)amino)-6-(furanil) fulveno

C₂₀H₁₅NO₄ Peso Mol.: 333,34

Aceite rojo Rendimiento: 97%

RMN de 1 H (CDCl₃, 300 MHz, ppm) δ : 13,76 (1 H, s, N¹⁶H), 7,79 (1 H, c, J = 0,01 Hz, C¹⁵H), 7,70 (1 H, m, C¹⁰H), 7,66 (1 H, m, C¹³H), 7,36 (1 H, m, C¹⁹H), 7,19 (1 H, d, J = 0,01 Hz, C²H), 6,91 (1 H, c, J = 0,01 Hz, C¹⁴H), 6,84 (1 H, d, J = 0,01 Hz, C²¹H), 6,62 (1 H, c, J = 0,01 Hz, C²⁰H), 6,56 (1 H, c, J = 0,01 Hz, C⁴H), 6,38 (1 H, t, J = 0,01 Hz, C³H), 6,31 (1 H, m, C⁸H), 6,27 (1 H, m, C⁹H), 4,62 (2 H, d, J = 0,02 Hz, C¹⁷H)

RMN de ¹³**C** (CDCl₃, 50 MHz, ppm) δ : 176,36 (C¹¹), 153,93 (C⁷), 153,85 (C¹²), 149,92 (C²¹), 146,01 (C⁶), 145,32 (C¹⁵), 144,80 (C¹⁰), 142,61 (C¹⁸), 137,94 (C²). 134,98 (C⁴), 124,84 (C¹), 119,83 (C⁵), 119,82 (C³), 117,59 (C¹³ y C¹⁴), 111,60 (C⁸), 111,52 (C⁹), 110,52 (C²⁰), 108,02 (C¹⁹), 43,07 (C¹⁷).

EMAR: Calculado para M+. $(C_{20}H_{15}NO_4)$ m/z = 333,10011, encontrado 333,1008 (2 ppm).

Anál. Calculado para C₂₀H₁₅NO₄: C: 72,06, H: 4,54, N: 4,20, O: 19,20, encontrado C: 72,11, H: 4,55, N: 4,18.

21

Ligando U: 1-(furanoil)-6-(1-(piridin-2-metil)amino)-6-(furanil) fulveno

C₂₁H₁₆N₂O₃ Peso Mol.: 344,36

Sólido rojo Rendimiento: 60%

RMN de 1 H (CDCl₃, 300 MHz, ppm) δ : 13,90 (1 H, s, N 16 H), 8,54 (1 H, d, J = 0,02 Hz, C 22 H), 7,80 (1 H, c, J = 0,01 Hz, C 15 H), 7,70-7,60 (3 H, m, C 10 H, C 13 H y C 24 H), 7,42 (1 H, d, J = 0,03 Hz, C 19 H), 7,21-7,17 (2 H, m, C 21 H y C 24 H), 6,92 (1 H, q, J = 0,01 Hz, C 14 H), 6,79 (1 H, d, J = 0,01 Hz, C 8 H), 6,57-6,54 (2 H, m, C 4 H y C 9 H), 6,38 (1 H, t, J = 0,01 Hz, C 3 H), 4,78 (2 H, d, J = 0,02 Hz, C 17 H).

RMN de ¹³**C** (CDCl₃, 50 MHz, ppm) δ: 176,40 (C¹¹), 157,15 (C²²). 154,59 (C⁷), 153,92 (C¹²), 149,35 (C²⁰), 145,94 (C⁶), 145,35 (C¹⁵), 144,92 (C¹⁰), 137,98 (C²), 137,01 (C¹⁸), 135,15 (C⁴), 124,88 (C¹), 122,45 (C¹⁹), 121,25 (C²¹), 119,87 (C⁵), 119,07 (C³), 117,63 (C¹³) 117,59 (C¹⁴). 111,61 (C⁸), 111,37 (C⁹), 51,77 (C¹⁷).

EMAR: Calculado para M+.($C_{21}H_{16}N_2O_3$) m/z = 344,11609, encontrado 344,1155 (1 ppm).

Anál. Calculado para C₂₁H₁₆N₂O₃: C: 73,24, H: 4,68, N: 8,13, O: 13,94, encontrado C: 72,77, H: 4,73, N: 7,76.

10 Preparación de complejos metálicos a partir de carbonilamino fulvenos.

Complejo de CrCl₃ / ligando A.

Se introdujeron 7,51 mg (20 μ mol) de ligando A y 3,75 mg (10 μ mol) de CrCl $_3$.3THF en un Schlenk con 100 μ l de tetrahidrofurano (THF). La mezcla se puso en agitación durante 2 h a temperatura ambiente. El disolvente se evaporó al vacío durante una noche para producir un sólido castaño amarillento.

15 Complejo de CrCl₂ / ligando A.

Se introdujeron 7,51 mg (20 μ mol) de ligando A y 1,23 (10 μ mol) de CrCl₂ en un Schlenk con 100 μ l de THF. La mezcla se puso en agitación durante 2 h a temperatura ambiente. El disolvente se evaporó al vacío durante una noche para producir un sólido castaño amarillento.

Complejo de CrCl₃ / ligando D.

20 Se introdujeron 7,27 mg (20 μmol) de ligando D y 3,75 mg (10 μmol) de CrCl₃.3THF en un Schlenk con 100 μl de tetrahidrofurano (THF). La mezcla se puso en agitación durante 2 h a temperatura ambiente. El disolvente se evaporó al vacío durante una noche para producir un sólido castaño amarillento.

Complejo de CrCl₃ / ligando H.

Se introdujeron 9,31 mg (20 μmol) de ligando H y 3,75 mg (10 μmol) de CrCl₃.3THF en un Schlenk con 100 μl de tetrahidrofurano (THF). La mezcla se puso en agitación durante 2 h a temperatura ambiente. El disolvente se evaporó al vacío durante una noche para producir un sólido castaño amarillento.

Complejo de CrCl₃ / ligando E.

Se introdujeron 7,07 mg (20 μ mol) de ligando E y 3,75 mg (10 μ mol) de CrCl₃.3THF en un Schlenk con 100 μ l de tetrahidrofurano (THF). La mezcla se puso en agitación durante 2 h a temperatura ambiente. El disolvente se evaporó al vacío durante una noche para producir un sólido castaño rojizo.

Complejo de CrCl₃ / ligando C.

30

Se introdujeron 7,53 mg (20 μ mol) de ligando C y 3,75 mg (10 μ mol) de CrCl $_3$.3THF en un Schlenk con 100 μ l de tetrahidrofurano (THF). La mezcla se puso en agitación durante 2 h a temperatura ambiente. El disolvente se evaporó al vacío durante una noche para producir un sólido castaño amarillento.

35 Complejo de CrCl₃ / ligando B.

Se introdujeron 7,31 mg (20 μ mol) de ligando B y 3,75 mg (10 μ mol) de CrCl₃.3THF en un Schlenk con 100 μ l de tetrahidrofurano (THF). La mezcla se puso en agitación durante 2 h a temperatura ambiente. El disolvente se evaporó al vacío durante una noche para producir un sólido castaño amarillento.

Complejo de CrCl₃ / ligando O.

40 Se introdujeron 8,49 mg (20 μmol) de ligando O y 3,75 mg (10 μmol) de CrCl₃.3THF en un Schlenk con 100 μl de tetrahidrofurano (THF). La mezcla se puso en agitación durante 2 h a temperatura ambiente. El disolvente se evaporó al vacío durante una noche para producir un sólido castaño amarillento.

Complejo de CrCl₃ / ligando L.

Se introdujeron 10,89 mg (20 μ mol) de ligando L y 3,75 mg (10 μ mol) de CrCl $_3$.3THF en un Schlenk con 100 μ l de tetrahidrofurano (THF). La mezcla se puso en agitación durante 2 h a temperatura ambiente. El disolvente se

evaporó al vacío durante una noche para producir un sólido castaño amarillento.

Complejo de CrCl₂ / ligando L.

5

10

Se introdujeron 10,89 mg (20 μ mol) de ligando L y 1,23 (10 μ mol) de CrCl $_2$ en un Schlenk con 100 μ l de THF. La mezcla se puso en agitación durante 2 h a temperatura ambiente. El disolvente se evaporó al vacío durante una noche para producir un sólido castaño amarillento.

El complejo se recristalizó por difusión lenta de pentano en una solución saturada del complejo en THF. Los cristales obtenidos eran adecuados para análisis por rayos X.

El complejo cristaliza en un entorno monoclínico con el grupo espacial P 21/c. El átomo de cromo está coordinado con una molécula de fulveno tridentazo mediante su átomo de oxígeno y sus dos átomos de nitrógeno. El átomo de cromo está coordinado adicionalmente con dos átomos de cloro y una molécula de THF. Esto puede verse en la Figura 3. El complejo se caracteriza de la siguiente manera.

Fórmula empírica C43 H39 C12 Cr N2 O2

Peso formula 738,66

Temperatura 100(2) K

Longitud de onda 0,71073 A

Sistema cristalino, grupo espacial Monoclínico, P 21/c

Dimensiones de la celdilla unitaria a = 14,987(2) A alfa $= 90^{\circ}$

b = 14,175(2) A beta = 99,485(9) °

c = 17,412(3) A gamma = 90 °

Volumen 3648,4(9) A^3

Z, Densidad calculada 4, 1,345 Mg/m^3

Coeficiente de absorción 0,500 mm^-1

F(000) 1540

Tamaño del cristal 0,2 x 0,2 x 0,03 mm

Intervalo theta para recogida de datos 2,92 a 27,48 º

Índices limitantes -19<=h<=19, -18<=k<=11, -22<=1 <=22

Reflexiones recogidas / único 38703/ 8296 [R(int) = 0,0659]

Completitud hasta theta = 27,48 99,2%

Corrección de la absorción Semi-empírico a partir de equivalentes

Procedimiento de refinado 0,985 y 0,885

Datos / restricciones / parámetros Matriz completa mínimos cuadrados en F^2

Bonanza del ajuste en F^2 8296/0/451

Índices R finales [I>2sigma (I)] 1,030

Índices R (todos los datos) R1 = 0.0423, wR2 = 0.0840

Coeficiente de extinción R1 = 0.0728, wR2 = 0.0941

Mayor dif. pico y valle 0,331 y -0,492 e.A^-3

Polimerización homogénea de etileno.

Los componentes catalíticos metálicos se activaron con 1,625 ml de metilaluminoxano (MAO). La solución se agitó durante 5 minutos y después se diluyó con 3,375 ml de tolueno. El reactor se secó en atmósfera de nitrógeno a una temperatura de 90°C durante un periodo de tiempo de 30 minutos. El reactor se llevó a una temperatura de polimerización de 35°C y se añadieron 50 ml de tolueno al reactor en atmósfera de nitrógeno. Una solución de aceptor, constituida por 0,5 ml de MAO (30%) y 4,5 ml de tolueno se añadió al reactor y la solución se agitó durante unos pocos minutos. La solución de catalizador activado se añadió al reactor en atmósfera de nitrógeno. El flujo de nitrógeno se interrumpió, el reactor se purgó y se puso a una presión de etileno de 15 bar. Se puso en agitación durante un periodo de tiempo de 1 h. el reactor se purgó y la polimerización se detuvo añadiendo una solución al 10% de MeOH/HCI. El polímero se lavó 3 veces con 30 ml de MeOH y 3 veces con 30 ml de acetona. El polímero se secó al vacío durante una noche a temperatura ambiente. Los resultados se resumen en la Tabla IV para los sistemas catalíticos basados en cromo.

TABLA IV.

5

10

MIL	mPE(g)	Actividad (kg _{PE} /(mol.h)	Mn	Tm (°C)
CrCl ₃ /A	0,941	94,1	-	137
CrCl ₂ /A	0,976	97,6	insoluble	137
CrCl ₃ / D	0,995	99,5	infiltrable	119
CrCl ₃ / H	1,045	104,5	inalterable	135
CrCl ₃ / E	1,244	124,4	insoluble	129
CrCl ₃ / C	1,283	128,3	infiltrable	135
CrCl ₃ / B	2,895	289,5	infiltrable	133
CrCl ₃ / O	3,648	364,8	insoluble	136
CrClg/ L	5,415	541,5	insoluble	135
CrCl ₂ /L	6,915	691,5	insoluble	136

Para todas las polimerizaciones, las condiciones fueron las siguientes: Cr 10 μmol, ligando 20 μmol, temperatura de polimerización 35°C, presión de etileno 15 bar, 1000 equiv. MAO, disolvente: tolueno, tiempo de polimerización 1 h.

Las mayores actividades se obtuvieron con los sistemas catalíticos basados en $CrCl_3$ / ligando L y $CrCl_2$ / ligando L. Como se expone en la Tabla V, el sistema basado en $CrCl_2$ es un catalizador selectivo, mientras que el sistema basado en $CrCl_3$ es un catalizador mixto polímero/oligómero.

TABLA V

15

ML	mPE(g)	Actividad (kg _{PE} I(mol.h)	Consumo (kg _{C2H4} l(mol.h))
CrCl ₂ / L	4,11	411	385
CrCl ₃ / L	3,38	338	590

Para todas las polimerizaciones, las condiciones fueron las siguientes: Cr 10 μmol, ligando 20 μmol, temperatura de polimerización 35°C, presión de etileno 15 bar, 1000 equiv. MAO disolvente: tolueno, tiempo de polimerización 1 h.

La actividad del sistema CrCl₂ / ligando L se ha estudiado como una función de la temperatura y de la presión de etileno. Los resultados se muestran en la Tabla VI. Puede concluirse que la actividad del sistema catalítico aumenta con el aumento de la presión y disminuye cuando la temperatura se eleva por encima de 35°C. Puede concluirse también que la actividad aumenta con una menor cantidad del catalizador.

5 TABLA VI

kg _{PE} /(mol.h)	5 μmol Cr		2,5 μmol Cr
KgpE/(IIIOI.II)	15 bar	45 bar	45 bar
25°C	773	1722	3606
35°C	1016	1341	2790
55°C	619	806	1196

Para todas las polimerizaciones, las condiciones fueron las siguientes: 1000 equiv. MAO, disolvente: tolueno, tiempo de polimerización 1 h.

Los consumos se midieron también y los resultados se muestran en la Tabla VII.

TABLA VII

Temp. (°C)	mPE(g)	Actividad (kg _{PE} /(mol.h)	Consumo (kg _{C2H4} /(mol.h)
35	7,49	2996	2729
25	10,77	4 308	5 738

Para todas las polimerizaciones, las condiciones fueron las siguientes: Cr 2,5 μmol, ligando L 5 μmol, presión de etileno 45 bar, 1000 equiv. MAO, disolvente: tolueno, tiempo de polimerización 1 h.

Polimerización de etileno con sistemas catalíticos soportados.

La actividad del sistema catalítico CrCl₂ / ligando L no soportado se evaluó en heptano. El sistema catalítico no era selectivo en polietileno, puesto que el consumo de etileno era mayor que la cantidad de etileno presente en el polietileno. Las condiciones de polimerización fueron las siguientes:

tiempo de complejación: 2 horas,

5 μmol de ligando con 2,5 μmol de Cr,

temperatura de polimerización: 25°C,

presión de polimerización: 45 bar,

20 1000 equ. de MAO,

15

disolvente: heptano,

tiempo de polimerización: 1 hora.

Los resultados se muestran en la Tabla VIII.

TABLA VIII

mPE(g)	Actividad (kg _{PE} /(mol.h)	Consumo (kg _{C2H4} /(mol.h)	TM (°C)
6,77	1708	6768	137

25 <u>Impregnación del catalizador sobre sílice/MAO.</u>

Se disolvieron 5 μ mol de complejo $CrCl_2/L$ en 600 μ l de tolueno y después se introdujeron en un Schlenk con 100 mg de sílice/MAO (50 μ mol $_{Cr}/g_{Si}$) en agitación durante un periodo de tiempo de 30 minutos. La sílice impregnada se filtró y se lavó una vez con 600 μ l de tolueno y tres veces con 600 μ l de heptano (condición 1) o tres veces con 600 μ l de heptano (condición 2).

Polimerización de etileno con sílice impregnada/MAO.

El reactor se secó en atmósfera de nitrógeno durante un periodo de tiempo de 30 minutos y a una temperatura de 90°C. Después, se introdujeron 50 ml de heptano en el reactor con 100 ml de aceptor, MAO (30%) diluido en 5 ml de heptano, a una temperatura de 25°C. Se introdujeron 50 mg de sílice, que contiene aproximadamente 2,5 μ mol de catalizador activado (50 μ mol $_{Cr}/g_{SiO2}$) en el reactor con 5 ml de heptano. La reacción de polimerización se realizó a una temperatura de 25°C a una presión de etileno de 45 bar y durante un periodo de tiempo de 1 hora para las condiciones 1 y 2. Los resultados se muestran en la Tabla IX.

10 TABLA IX

5

mPE(g)	Actividad.	Consumo			Tm (°C)
	(kg _{PE} /(mol.h)	(kg _{C2H4} /(mol.h)	(g _{PE} /(g _{Sr} h))	$(g_{C2H4}/(g_{Sr}h))$	
Cond. 1 ~ 0	0	4836	0	242	-
Cond.2 0,77	308	5061	15,4	253	138

Polimerización de alfa-olefinas.

El sistema catalítico no soportado $CrCl_2/L$ se usó para la polimerización de hexeno con las siguiente condiciones: $CrCl_2/L$ / MAO / hexeno = 1/100 / 2000. Después un periodo de tiempo de 24 horas y una temperatura de polimerización de 30°C el rendimiento fue de aproximadamente el 4,5%.

REIVINDICACIONES

- 1. Un procedimiento para preparar un complejo metálico que comprende las etapas de:
- a) preparar un ligando de carbonilamino fulveno mediante una reacción de condensación de un ligando de hidroxicarbonil fulveno con una amina primaria;

5

$$R_1$$
 + H_2N-R_2 EtOH O HN R_1

- en las que R₁ y R₂ son iguales o diferentes y se seleccionan entre alquilo, arilo, alquilarilo, arilalquilo que tiene como máximo 20 átomos de carbono o grupos que contienen heteroátomos;
- b) proporcionar un precursor metálico MZ_n en la que M es un metal del Grupo 6 a 11 de la Tabla Periódica, Z es un contra-anión negativo y n es la valencia de M;
- 15 c) complejar el precursor metálico de la etapa b) con el carbonilamino fulveno de la etapa a);
 - d) recuperar un complejo metálico.
 - 2. El procedimiento de la reivindicación 1 en el que R_1 es alquilo, un grupo fenilo sustituido o no sustituido, CHP h_2 en la que el grupo fenilo Ph está sustituido o no sustituido o un grupo que contiene un heteroátomo.
 - 3. El procedimiento de la reivindicación 2 en el que R₁ es CHPh₂ o parametoxifenilo o ciclohexilo.
- 20 4. El procedimiento de una cualquiera de las reivindicaciones 1 a 3 en el que R₂ es CH₂piridina o furano.
 - 5. El procedimiento de una cualquiera de las reivindicaciones anteriores en el que R_1 es CHP h_2 y R_2 es CH $_2$ piridina, o en el que R_1 es parametoxifenilo y R_2 es CH $_2$ piridina, o en el que R_1 es ciclohexilo y R_2 es furano.
 - 6. El procedimiento de una cualquiera de las reivindicaciones anteriores en el que M es CrII, CrIII o Ni.
 - 7. El procedimiento de una cualquiera de las reivindicaciones anteriores en el que Z es halógeno o acetato.
- 25 8. Un complejo metálico obtenible por el procedimiento de una cualquiera de las reivindicaciones 1 a 7.
 - 9. Un catalizador activo que comprende el complejo metálico de la reivindicación 8, un agente de activación que tiene una acción ionizante y, opcionalmente, un soporte.
 - 10. El sistema catalítico activo de la reivindicación 9 en el que el agente de activación es metilaluminoxano.
- 11. Un procedimiento para preparar un sistema catalítico activo de la reivindicación 9 o la reivindicación 10 que comprende las etapas de:
 - a) proporcionar un ligando de carbonilamino fulveno;
 - b) complejar el ligando de la etapa a) con una sal metálica MZ_n en un disolvente;
 - c) recuperar un componente catalítico;
 - d) opcionalmente, depositar el componente catalítico de la etapa c) sobre un soporte;
- e) activar el componente catalítico de la etapa c) o de la etapa d) con un agente de activación que tiene una acción ionizante;
 - f) opcionalmente, añadir un aceptor;
 - g) recuperar un sistema catalítico de oligomerización o polimerización activo.

ES 2 358 777 T3

- 12. Un procedimiento para oligomerizar o para homo- o co-polimerizar etileno y alfa-olefinas que comprende las etapas de:
- a) inyectar el sistema catalítico activo de la reivindicación 9 o la reivindicación 10 en el reactor,
- b) inyectar el monómero y comonómero opcional;
- 5 c) mantener en condiciones de polimerización;
 - d) recuperar los oligómeros y/o el polímero.
 - 13. El procedimiento de la reivindicación 12 en el que el monómero y el comonómero se seleccionan entre etileno, propileno o 1-hexeno.

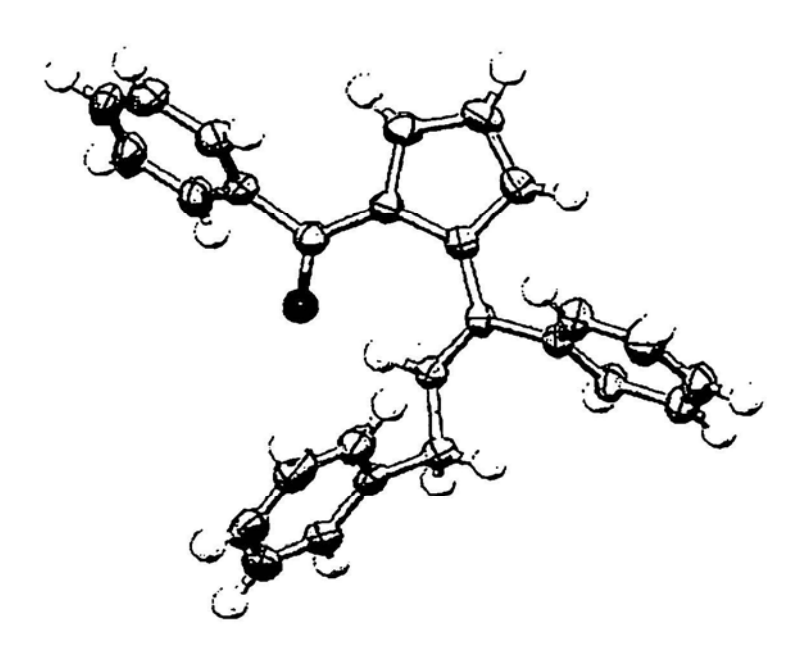
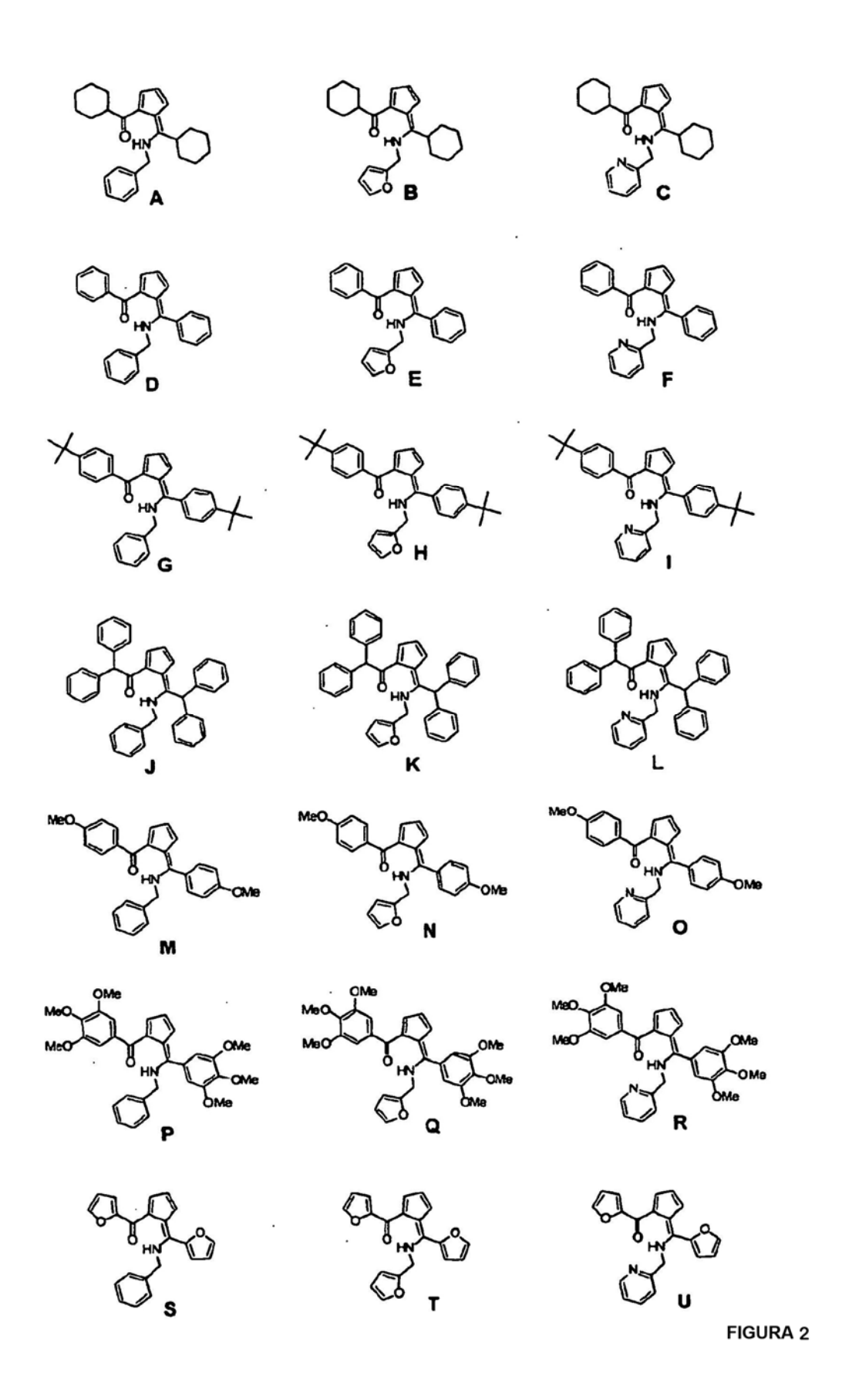


FIGURA 1



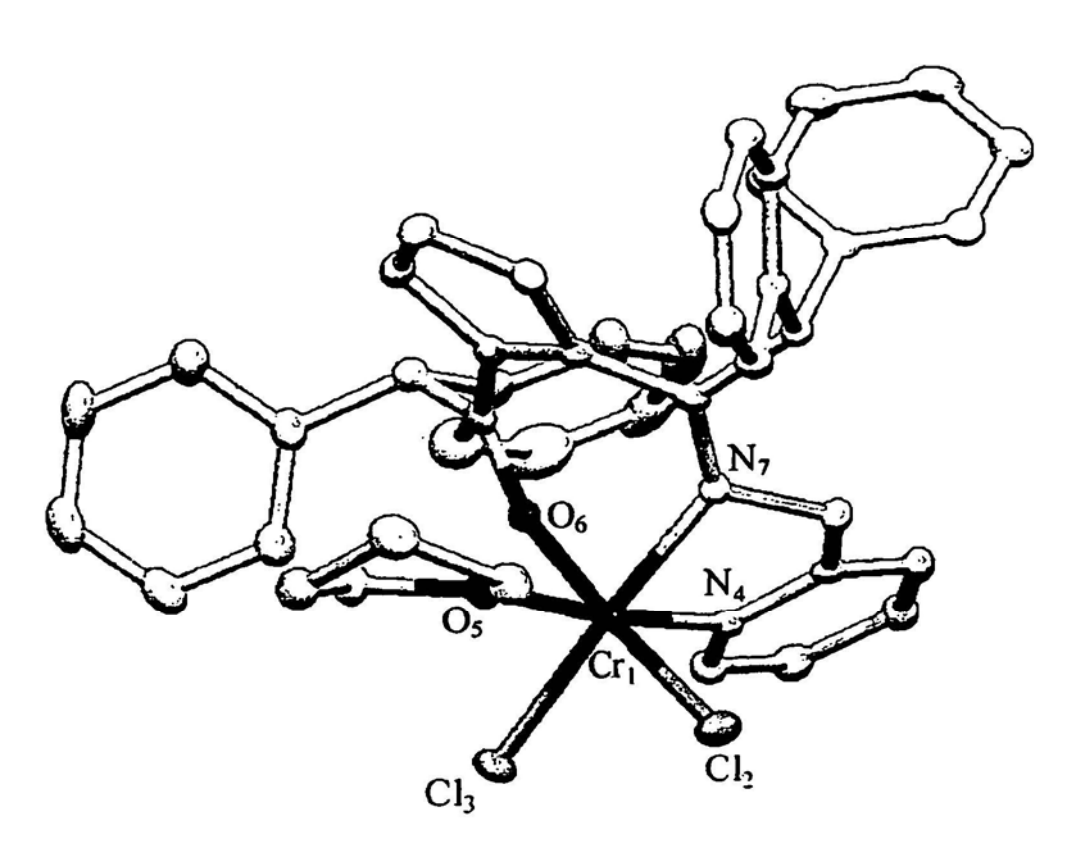


FIGURA 3